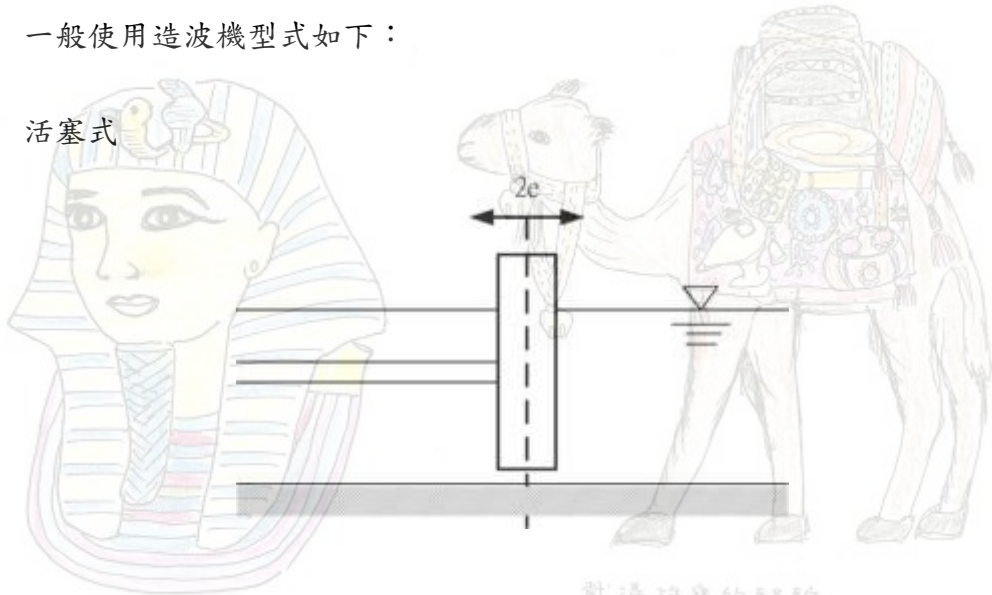


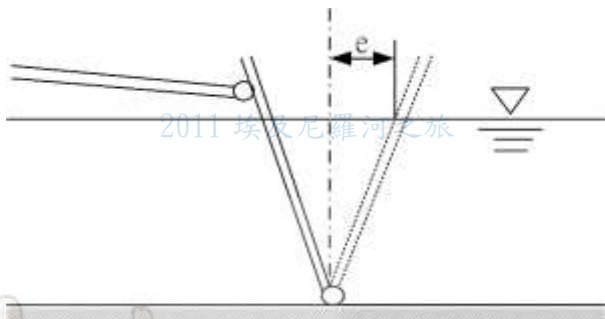
港灣海岸水工模型實驗造波裝置

一般使用造波機型式如下：

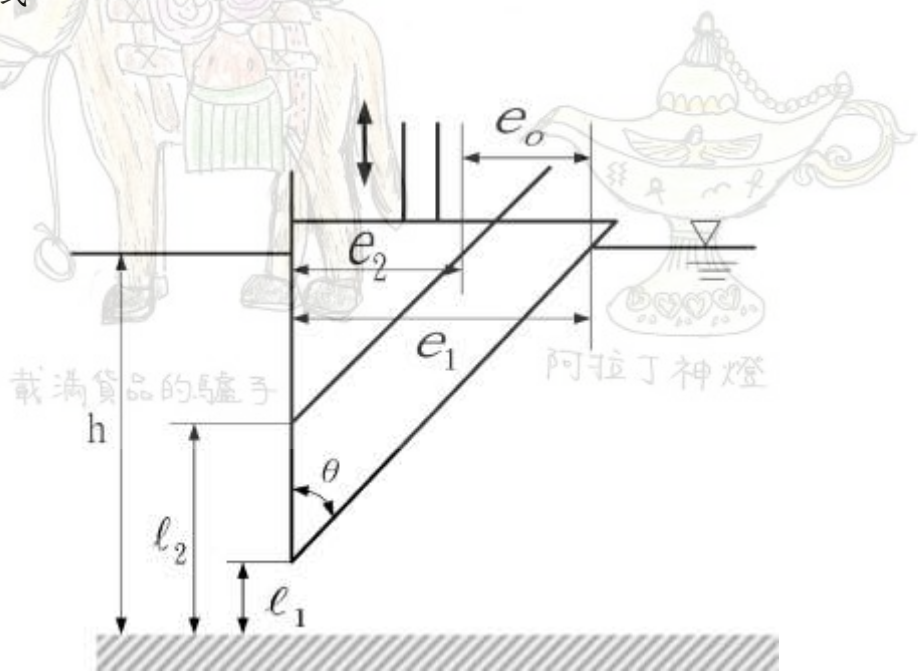
① 活塞式



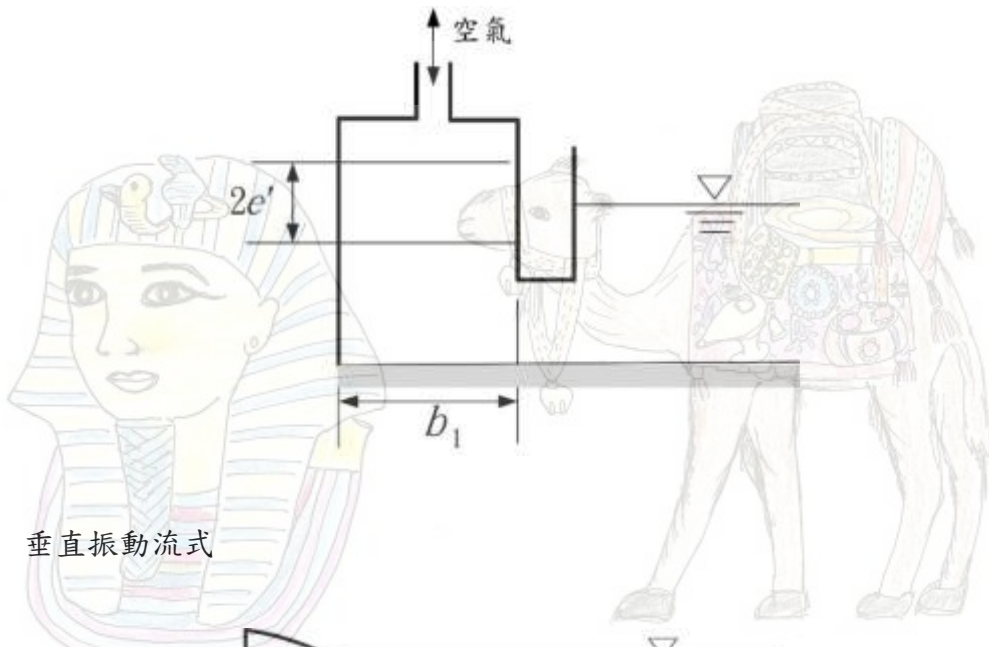
② 拍拉式



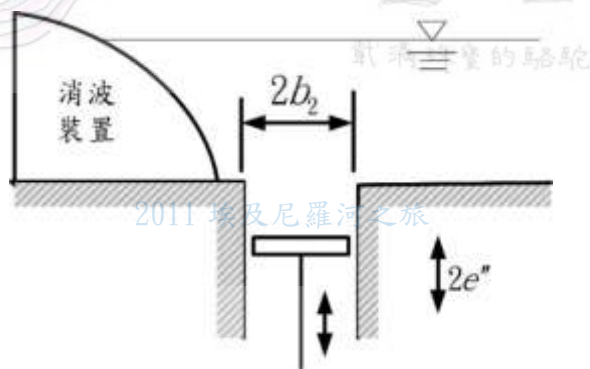
③ 柱壓式



④ 氣壓式



⑤ 垂直振動流式



1. 單方向造波裝置

1) 規則波

① 活塞式

活塞式造波機發生波高 H ，可依下式求得

$$\frac{H}{2e} = 4 \frac{\sinh^2 kh}{\sinh 2kh + 2kh}$$



e ：造波板半振幅

$$k=2\pi/L$$

活塞式造波機驅動馬達必要馬力數(HP)，可依下式求得

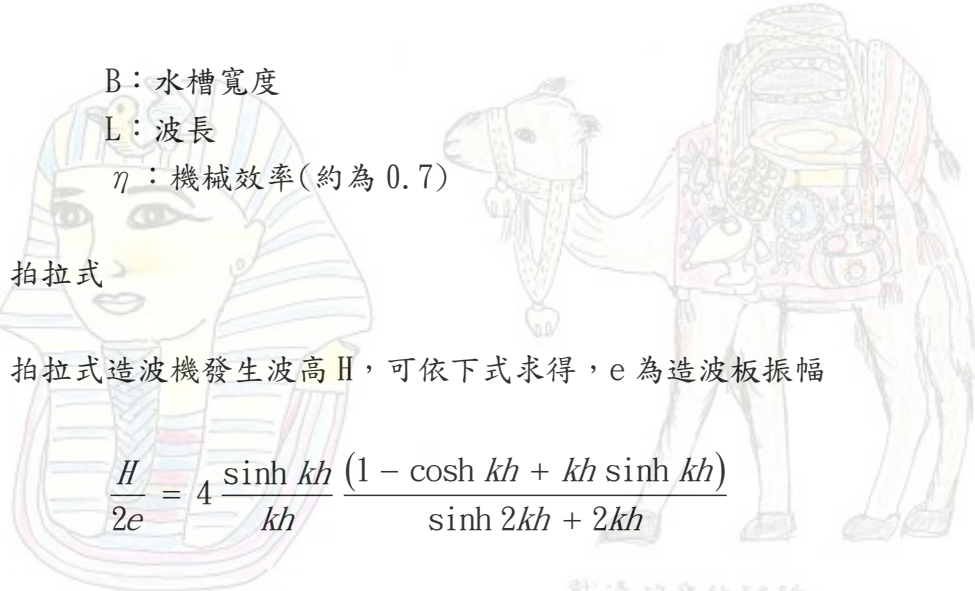
$$W_{\max} = \frac{6.67BH^2L}{\eta T} \left(\frac{1}{2} + \frac{kh}{\sinh 2kh} \right)$$

B：水槽寬度

L：波長

η ：機械效率(約為 0.7)

② 拍拉式



拍拉式造波機發生波高 H，可依下式求得，e 為造波板振幅

$$\frac{H}{2e} = 4 \frac{\sinh kh}{kh} \frac{(1 - \cosh kh + kh \sinh kh)}{\sinh 2kh + 2kh}$$

拍拉式造波機驅動馬達必要馬力數(HP)，可依下式求得

$$W_{\max} = \frac{6.67BH^2L}{\eta T} \left(\frac{1}{2} + \frac{kh}{\sinh 2kh} \right)$$

③ 柱壓式

柱壓式造波機發生波高 H，可依下式求得

$$\frac{H}{2e_o} = 1.63 \left[\frac{kh \sinh kh - \tan \theta \frac{h}{e_o} (\cos k\ell_2 - \cos k\ell_1)}{\sinh 2kh + 2kh} \right]$$

$$e_o = \ell_1 - \ell_2$$

阿拉丁神燈

④ 氣壓式

氣壓式造波機發生波高 H，可依下式求得

$$\frac{H}{2e'} = \frac{2\pi b_1}{L}$$

⑤ 垂直振動流式

垂直振動流式造波機發生波高 H ，可依下式求得

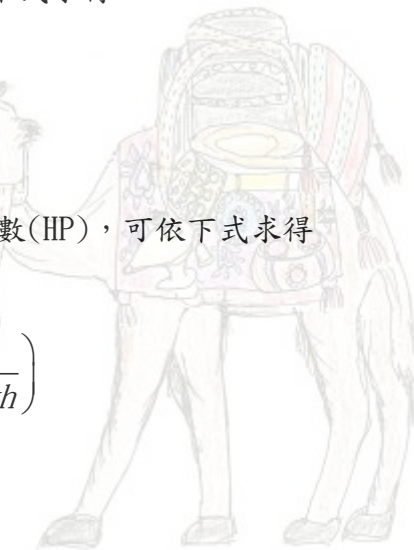
$$\frac{H}{2e''} = \frac{4 \sinh kh \sin kb_2}{\sinh 2kh + 2kh}$$

垂直振動流式造波機驅動馬達必要馬力數(HP)，可依下式求得

$$W_{\max} = \frac{1}{8} \frac{BH^2 L}{\eta T} \left(1 + \frac{2kh}{\sinh 2kh} \right)$$

2) 活塞式造波裝置的造波運動速度

① 簡諧波



載滿珠寶的駱駝

簡諧波造波板運動速度 $U(t)$ 為
2011 埃及尼羅河之旅

$$U(t) = \zeta_0 \sigma \frac{\sinh kh \cosh kh + kh}{2 \sinh^2 kh} \sin \sigma t$$

② 孤立波

模擬孤立波時，根據 Boussinesq 理論，造波板運動速度 $U(t)$ 可依下式。

$$U(t) = x_0 \omega \operatorname{sech}^2(t - t_c)$$

載滿貨品的駱駝



阿拉丁神燈

$$x_o = h_o \sqrt{\frac{4H_o}{3(H_o + h_o)}}$$

$$\omega = \sqrt{\frac{g}{h_o}} \sqrt{\frac{3H_o}{4h_o} \left(1 + \frac{H_o}{h_o}\right)}$$

$$t_c = \pi/\omega$$

x_o 為造波板的半衝程(semistroke)， H_o 為欲造波的孤立波波高， h_o 為造波水槽水深， ω 為特徵角頻率(characteristic angular frequency)， t_c 為特徵時間(characteristic time)。

③ 不規則波

模擬造波波譜為 $S(f)$ 時，造波板運動速度 $U(t)$ 為

$$U(t) = \sum_{n=1}^{\infty} \sqrt{2df} S(f_n) \sigma_n \cos(\sigma_n t - \varepsilon_n)$$

戴滿珠寶的駱駝

其中 $\sigma_n = 2\pi f_n$ ， ε_n 為界於 0 與 2π 間之隨機變數。

ⓐ Brestsneider 波譜 2011 埃及尼羅河之旅

$$S(f) = 0.430 \bar{H}^2 \bar{T}^4 f^{-5} \exp(-0.675 \bar{T}^4 f^{-4})$$

ⓑ Brestsneider-Mitsuyasu 波譜

$$S(f) = 0.257 H_{1/3}^2 / T_{1/3}^4 f^{-5} \exp(-1.03 T_{1/3}^{-4} f^{-4})$$

$H_{1/3}$ 及 $T_{1/3}$ 為欲模擬造波波譜的有義波高及週期。

ⓒ JONSWAP 波譜

$$S(f) = \alpha (2\pi)^{-4} g^2 f^{-5} \exp \left[-\frac{5}{4} \left(\frac{f}{f_p} \right)^{-4} \gamma \exp \left[-\left(\frac{f}{f_p} - 1 \right)^2 / 2\sigma^2 \right] \right]$$

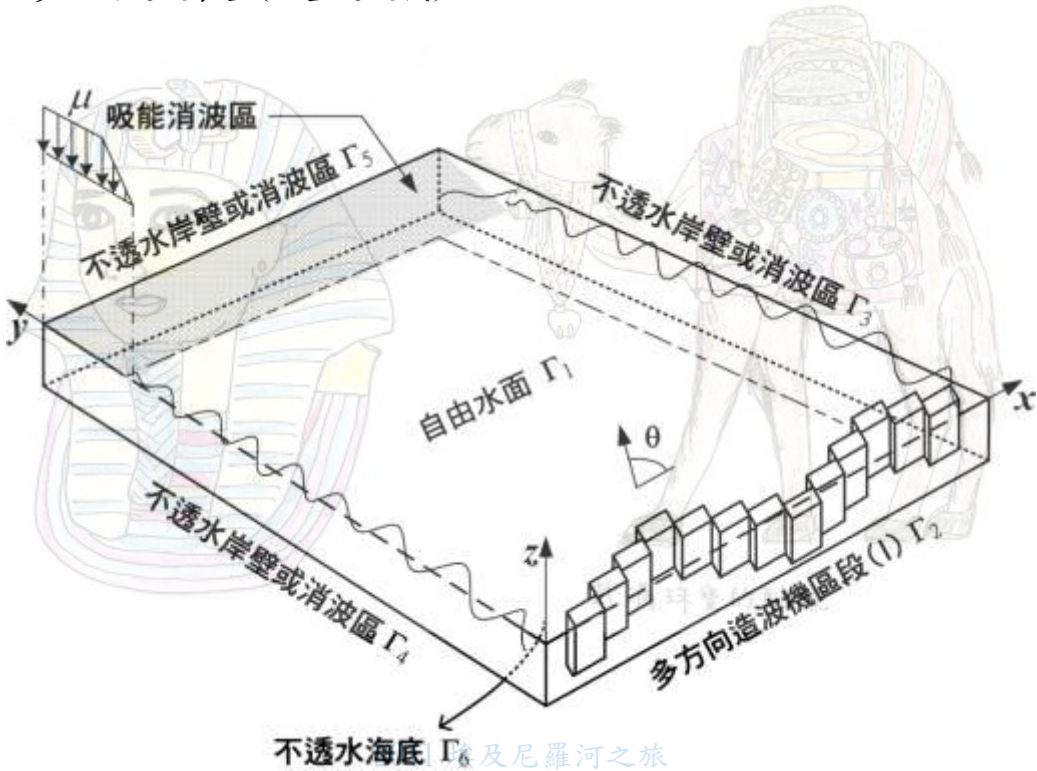
$$\begin{cases} \sigma = 0.07 & f \leq f_p \\ = 0.09 & f > f_p \end{cases}$$

$$\alpha \approx 0.081$$

$$\gamma \approx 3.3$$

f_p 為頂點頻率

2. 多方向造波裝置(蛇型造波機)



直線型活塞式造波板蛇型造波機如上圖， N 片活塞式造波板蛇型造波板的運動速度 $U(j, t)$, ($j=1, 2, \dots, N$)如下：

① 簡諧波

$$U(j, t) = a\alpha\sigma \sin(\sigma t - kjw_B \cos \theta_B)$$

$$\alpha = \frac{\sinh kh \cosh kh + kh}{2 \sinh^2 kh}$$

θ_B =造波方向(以 x 軸為基準)

a =造波振幅

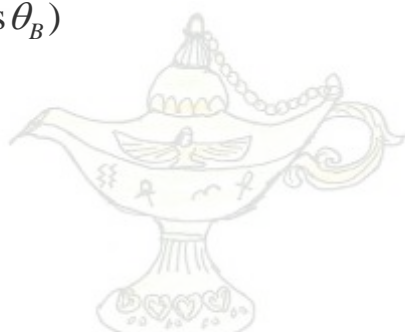
$\alpha = \theta_B$ 板修正係數

$\sigma = \text{造波角頻率} (=2\pi/T, T=\text{造波週期})$

k =造波波數

h =造波水深

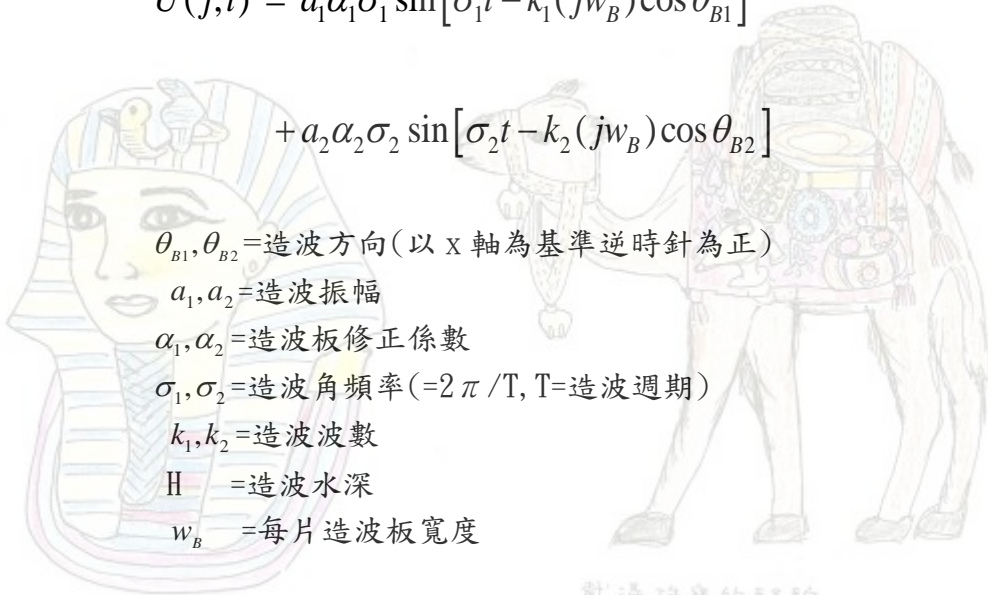
w_B =每塊造波板寬度



阿拉丁神燈

② 短峰波

$$U(j,t) = a_1 \alpha_1 \sigma_1 \sin[\sigma_1 t - k_1(jw_B) \cos \theta_{B1}]$$



載滿珠寶的駱駝

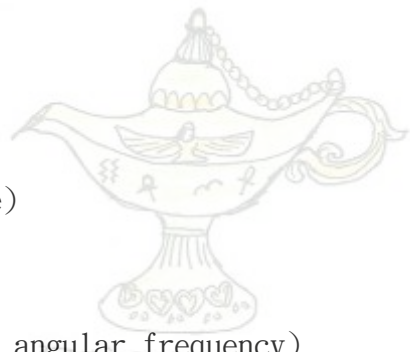
③ 孤立波

$$U(j,t) = x_0 \omega \sec h^2 \omega (t - t_c - jw_B \cos \theta_B)$$

2011 埃及尼羅河之旅

$$x_o = h_o \sqrt{\frac{4H_o}{3(H_o + h_o)}}$$

$$\omega = \sqrt{\frac{g}{h_o}} \sqrt{\frac{3H_o}{4h_o} \left(1 + \frac{H_o}{h_o}\right)}$$



$$t_c = \pi/\omega$$

x_o =造波板的半衝程(semistroke)

H_o =造波波高

h_o =造波水槽水深

ω =特徵角頻率(characteristic angular frequency)

t_c =為特徵時間(characteristic time)。

④ 單方向不規則波

模擬造波波譜為 $S(f)$ 時，造波板運動速度 $U(j, t)$ 為

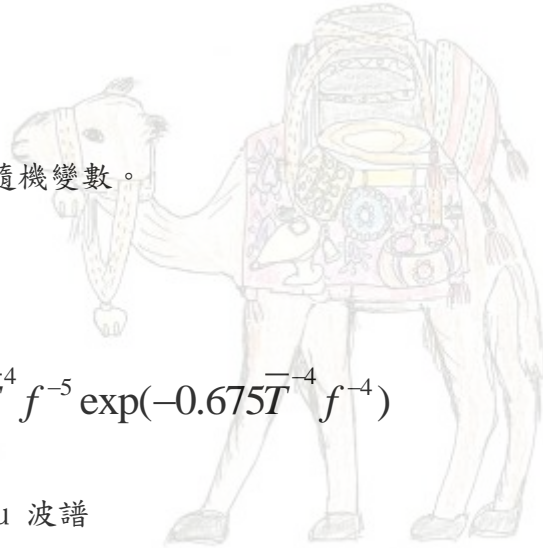
$$U(j,t) = \sum_{n=1}^{\infty} \sqrt{2df} S(f_n) \sigma_n \cos[\sigma_n t - k_n(jw_B) \cos \theta_B - \varepsilon_n]$$

$$\sigma_n = 2\pi f_n$$

k_n = 造波波數

ε_n = 界於 0 與 2π 間之隨機變數。

ⓐ Brestschneider 波譜



$$S(f) = 0.430 \bar{H}^2 \bar{T}^{-4} f^{-5} \exp(-0.675 \bar{T}^{-4} f^{-4})$$

ⓑ Brestschneider-Mitsuyasu 波譜

載滿珠寶的駱駝

$$S(f) = 0.257 H_{1/3}^2 / T_{1/3}^4 f^{-5} \exp(-1.03 T_{1/3}^{-4} f^{-4})$$

$H_{1/3}$ 及 $T_{1/3}$ 為欲模擬造波波譜的有義波高及週期。

ⓒ JONSWAP 波譜

$$S(f) = \alpha (2\pi)^{-4} g^2 f^{-5} \exp\left[-\frac{5}{4}\left(\frac{f}{f_p}\right)^{-4}\right] \gamma^{\exp\left[-\left(\frac{f}{f_p}-1\right)^2/2\sigma^2\right]}$$

$$\begin{cases} \sigma = 0.07 & f \leq f_p \\ & = 0.09 & f > f_p \end{cases}$$

$$\alpha \approx 0.081$$

$$\gamma \approx 3.3$$

f_p = 頂點頻率



阿拉丁神燈

⑤ 多方向不規則波

模擬造波頻率波譜為 $S(f)$ ，能量方向分佈函數 $h(\theta, f)$ 為

$$h(\theta, f) = \left[\int_{\theta_{\min}}^{\theta_{\max}} \cos^{2S} \left(\frac{\theta}{2} \right) d\theta \right]^{-1} \cos^{2S} \left(\frac{\theta}{2} \right)$$

$$= \left[\frac{1}{\pi} 2^{2S-1} \frac{\Gamma^2(S+1)}{\Gamma(2S+1)} \right] \cos^{2S} \left(\frac{\theta}{2} \right)$$

$$S = \begin{cases} S_{\max} (f / f_p)^5 & f \leq f_p \\ S_{\max} (f / f_p)^{-2.5} & f > f_p \end{cases}$$

S 為方向集中度參數， S_{\max} 表示波浪方向分佈最大集中度， f_p 為波譜頂點頻率。

$S_{\max} = 10$ ，風波

$= 25$ ，衰減距離較短的湧浪

$= 75$ ，衰減距離較長的湧浪

造波板運動速度 $U(j, t)$ 為

2011 埃及尼羅河之旅

$$U(j, t) = \sum_{n=1}^{\infty} \sqrt{2df S(f_n)} \sigma_n \cos \left[\sigma_n t - k_n(jw_B) \cos \theta_{f_n} - \varepsilon_n \right]$$

$$\theta_{f_n} = h(\theta, f_n)$$

回港灣海岸水工模型實驗

載滿貨品的驢子

阿拉丁神燈